

делялась численно из уравнений (1). При этом из всевозможных значений интегралов, соответствующих различным точкам ветвления и различным точкам остановки, выбиралось значение с минимальной мнимой частью. [Как видно из уравнений (3), в комплексной плоскости p_y , существует в общем случае восемь различных точек ветвления].

Вычисленное таким образом действие использовалось для определения характерного времени жизни легкой дырки по отношению к ее превращению в тяжелую $\tau = (2\pi/\Omega_l) \exp(2\text{Im}S/\hbar)$ (см. [1]). Здесь Ω_l — циклотронная частота легкой дырки.

Вместо величин ϵ и u удобно ввести величины N_l и v_l аналогично тому, как это было сделано в сферическом случае^[1]; $\epsilon = (N_l - v_l) \hbar \Omega_l$, где $v_l = m_l u^2 / 2\hbar \Omega_l$, $m_l = m_0 / (\gamma_1 + 2\gamma_2)$ — эффективная масса легкой дырки в сферическом приближении, величина N_l имеет смысл номера уровня Ландау легкой дырки. На рис. 1 приведены графики зависимостей величины τ от номера уровня Ландау легких дырок при $p_z = 0$ для двух значений параметра v_l и различных ориентаций полей E и H , характерных для экспериментов^[4, 5]. Значения параметров Латтинжера $\gamma_1 = 13.38$, $\gamma_2 = 4.24$, $\gamma_3 = 5.69$ соответствуют германию. Как видно из рис. 1, имеется сильная анизотропия зависимости τ от N_l . Причем для направлений $E \parallel [112]$, $H \parallel [111]$ условия для возникновения инверсии заселенности уровней Ландау легких дырок, по-видимому, наиболее благоприятные.²

Эффективность туннелирования определяется из сравнения времени жизни τ и времени рассеяния на акустических фононах v_{ak}^{-1} , также приводящего к переходам между подзонами. Следуя^[1], для $v_{ak} = 410^{10} \text{ см}^{-1}$ в предположении «широкого» источника вычисляли зависимость относительной заселенности уровней Ландау легкой дырки $f = v_{ak} \tau / (1 + v_{ak} \tau)$ от N_l . Результаты расчета показаны на рис. 2 для $p_z = 0$, $H = 20$ кЭ.

Автор благодарен В. И. Перелю, инициировавшему данную работу.

Л и т е р а т у р а

- [1] Дьяконов М. И., Перель В. И. — ЖЭТФ, 1987, т. 92, в. 1, с. 350—357.
- [2] Luttinger J. M. — Phys. Rev., 1956, v. 102, N 4, p. 1030—1036.
- [3] Ландау Л. Д., Либниц Е. М. Квантовая механика. М., 1974.
- [4] Иванов Ю. Л., Васильев Ю. Б. — Письма ЖТФ, 1983, т. 9, в. 10, с. 613—616.
- [5] Васильев Ю. Б., Иванов Ю. Л. — ФТП, 1985, т. 19, в. 1, с. 106—109.

Получено 10.05.1988

Принято к печати 2.06.1988

ФТП, том 22, вып. 10, 1988

ЭЛЕКТРИЧЕСКИЕ И ФОТОЭЛЕКТРИЧЕСКИЕ СВОЙСТВА ПЛЕНОК $\text{Pb}_{1-x}\text{Sn}_x\text{S} \langle \text{Na} \rangle$

Бакуева Л. Г., Захарова И. Б., Ильин В. И., Мусихин С. Ф.

Как показано в^[1], введение в монокристаллы PbS *p*-типа олова в количестве нескольких атомных процентов приводит к получению сильно компенсированного материала. Авторы связывают этот эффект с компенсирующим действием Sn, которое обладает двумя зарядовыми состояниями — Sn^{+2} и Sn^{+4} . Баланс между этими состояниями поддерживается на таком уровне, чтобы создать в образце донорные центры в количестве, необходимом для компенсации акцепторной примеси.

Задача настоящей работы — получение пленок описанного материала и исследование их фотоэлектрических свойств. Интерес к этой проблеме вызван

² Можно показать, что в этом смысле направления $E \parallel [112]$, $H \parallel [111]$ и $E \parallel [112]$, $H \parallel [110]$ эквивалентны.

тем, что обычно для получения высокомонных фотопроводящих пленок PbS используется активирующий отжиг [2]. Замена PbS на $Pb_{1-x}Sn_xS\langle Na \rangle$ позволяет заметно упростить процесс получения пленок, избавившись от неудобного с точки зрения технологии высокотемпературного отжига.

Пленки были получены методом вакуумной конденсации в квазизамкнутом объеме. В качестве подложек использовались слюда и кремний с пленкой окисла толщиной 0.1 мкм. Пленки на слюде наиболее удобно использовать для электрических измерений, а пленки на кремнии — для создания гетероструктур типа описанных в [3]. Толщина пленок составляла: на слюде — 2.5—3.0, на SiO_2 — 0.6—0.8 мкм. Исследование структуры пленок методами РСА и РЭМ показало, что пленки на слюде являются блочно-текстуризованными, а на окисленном кремнии — поликристаллическими. Темновое сопротивление образцов составляло 10—100 кОм при комнатной температуре и 1—100 МОм при 80 К.

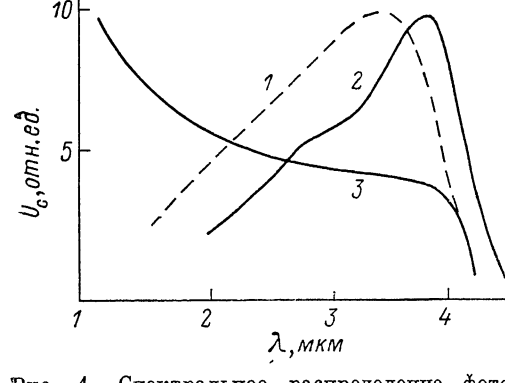


Рис. 1. Спектральное распределение фоточувствительности пленок различных типов.

Пленки: 1 — PbS (подложка — слюда), 2 — $Pb_{1-x}Sn_xS\langle Na \rangle$ (подложка — слюда), 3 — $Pb_{1-x}Sn_xS\langle Na \rangle$ (подложка — окисленный кремний).

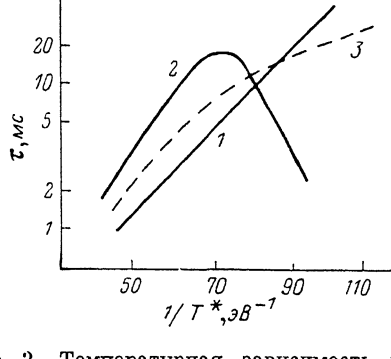


Рис. 2. Температурная зависимость времени фотоответа.

Пленки: 1 — $Pb_{1-x}Sn_xS\langle Na \rangle$ (подложка — окисленный кремний), 2 — $Pb_{1-x}Sn_xS\langle Na \rangle$ (подложка — слюда), 3 — (подложка — слюда при постоянной концентрации неравновесных носителей).

На рис. 1 представлено спектральное распределение фоточувствительности пленок различных типов. Видно, что спектр пленки, полученной на слюде, отличается от спектра PbS на этой же подложке небольшим длинноволновым сдвигом, связанным с изменением ширины запрещенной зоны. В остальном поведение спектров совпадает и характеризуется коротковолновым спадом фотопроводимости за счет поверхностной рекомбинации. Пленки на кремниевой подложке имеют иной характер спектра. На наш взгляд, это связано, в первую очередь, с меньшей толщиной таких пленок. Если $ad \leqslant 1$ (a — коэффициент поглощения, d — толщина пленки), то фотопроводимость пропорциональна доле света, поглощенного в пленке, т. е. пропорциональна ad , и, следовательно, растет с ростом энергии кванта, как и на обсуждаемой кривой. Однако рост фотопроводимости в сторону коротких волн продолжается и в области $ad > 1$, вблизи $\lambda \approx 1$ мкм. Заметим, что в отличие от пленок, выращенных на слюде, длинноволновый край фоточувствительности пленок на SiO_2 практически совпадает с кривой для PbS. В связи с различными условиями роста пленок на этих двух подложках и их различной структурой можно предположить, что для пленок на слюде воспроизводится состав твердого раствора, близкий к исходной шихте, в то время как на SiO_2 возможно появление отдельных фаз PbS и SnS, которые имеют соответственно $E_g = 0.37$ и 1.18 эВ [4] при $T = 80$ К.

Из исследований кинетики фотопроводимости определены время фотоответа и его температурная зависимость. На рис. 2 видно, что эта зависимость в различных образцах может существенно различаться. В образцах, в которых зависимость τ от T монотонна, она носит приблизительно экспоненциальный характер $\tau = \tau_0 \exp(\Delta E_{\text{рек}}/kT)$, где величина $\Delta E_{\text{рек}}$ в различных образцах имеет значение 0.05—0.20 эВ. Подобная зависимость характерна для неоднородных, в частности поликристаллических, полупроводников [5]. Отметим, что для

неоднородных полупроводников должно выполняться соотношение $\Delta E_{\text{peak}} \geq \geq \Delta E_{\text{dr}}$, где ΔE_{dr} — дрейфовый барьер, определяющий энергию активации темновой проводимости. В наших пленках $\Delta E_{\text{dr}} \approx 0.05$ эВ, так что данное неравенство действительно выполняется.

Немонотонное поведение $\tau = f(T)$ также может быть объяснено моделью неоднородного полупроводника. Оно имеет место в тех случаях, когда за счет экранировки ΔE_{peak} падает с ростом концентрации неравновесных носителей [5]. Подобные зависимости наблюдались в поликристаллических пленках PbS [6] и в аморфных полупроводниках [7]. Чтобы проверить справедливость подобного объяснения, нами был проведен эксперимент, в ходе которого зависимость $\tau = f(T)$ снималась не при постоянной интенсивности освещения, а при постоянной концентрации неравновесных носителей. Кривая, снятая в этих условиях на том же образце, показана на рис. 2 штриховой линией. Видно, что зависимость $\tau = f(T)$ становится монотонной, что подтверждает предположение о наличии в образце рекомбинационных барьеров, экранируемых неравновесными носителями.

Еще одно исследованное свойство пленок $\text{Pb}_{1-x}\text{Sn}_x\text{S}(\text{Na})$ — частотная зависимость комплексной проводимости. Наиболее интересным эффектом здесь являлась смена знака реактивной составляющей. Емкость пленок возрастала с ростом частоты измерения, и вблизи 20 кГц знак реактивной составляющей менялся, т. е. проводимость принимала индуктивный характер. В литературе имеется ряд сообщений о наблюдении индуктивности в полупроводниковых пленках [8-10]. Предлагаемые в этих работах объяснения эффекта так или иначе содержат два предположения: квазимонополярный характер проводимости образца и неоднородность самого образца или его освещения. В нашем случае выполняются оба эти условия. Неоднородность исследованных пленок не только очевидна в силу их поликристаллической структуры, но и нашла прямое подтверждение в фотоэлектрических измерениях. Квазимонополярный характер проводимости наших пленок также должен иметь место, поскольку, согласно [1], число донорных уровней, создаваемых оловом, определяется числом дырок в валентной зоне. При рождении светом новых дырок происходит их компенсация за счет реакции перезарядки олова. В результате образец ведет себя так, как если бы при освещении появлялись только электроны, т. е. квазимонополярным образом.

Таким образом, всю совокупность свойств пленок $\text{Pb}_{1-x}\text{Sn}_x\text{S}(\text{Na})$ удается объяснить в модели, учитывающей компенсирующие свойства олова в указанном соединении и неоднородную, поликристаллическую структуру исследованных пленок.

Авторы выражают благодарность Л. В. Прокофьевой за плодотворное сотрудничество.

Л и т е р а т у р а

- [1] Прокофьева Л. В., Виноградова М. Н., Зарубо С. В. — ФТП, 1980, т. 14, в. 11, с. 2201—2204.
- [2] Гаськов А. М., Гольденвейзер А. А., Соколов И. А., Зломанов В. П., Новоселова А. В. — ДАН СССР, 1983, т. 269, в. 3, с. 607—609.
- [3] Steckl A. J., Nelson R. D., French B. T., Gudmundsen R. A., Schechter D. — Proc. IEEE, 1975, v. 63, N 1, p. 67—69.
- [4] Абрикосов Н. Х., Шелимова Л. Е. Полупроводниковые материалы на основе соединений A^4B^6 . М., 1975. 195 с.
- [5] Шейнкман М. К., Шик А. Я. — ФТП, 1976, т. 10, в. 2, с. 209—243.
- [6] Изюзовиков Б. В., Таксами И. А. Физика электронно-дырочных переходов и полупроводниковых приборов. Л., 1969. 147 с.
- [7] Мотт Н., Дэвис Э. Электронные процессы в некристаллических веществах. М., 1982. 664 с.
- [8] Алимпиев В. Н., Баранов Л. И., Роках А. Г. — Радиотехн. и электрон., 1973, т. 18, в. 12, с. 2567—2574.
- [9] Фотопроводящие пленки (типа CdS). Саратов, 1979. 191 с.
- [10] Осадчук В. С. Индуктивный эффект в полупроводниковых приборах. Киев, 1987. 155 с.